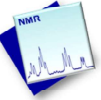


Técnicas de Caracterização



Ressonância Magnética Nuclear

RMN

Nuclear Magnetic Resonance (NMR)

Aula 3

(não presencial)

Andreia Valente
amvalente@ciencias.ulisboa.pt
 Gab - 8.5.34

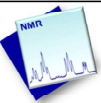
Informação que se obtém de um espectro de NMR



Informação	Nome	Interpretação
Nº de sinais diferentes	na	Núcleos quimicamente não equivalentes
Posição do pico	<u>Desvio químico</u> (δ /ppm) (chemical shift)	Ambiente eletrónico dos diferentes tipos de nucleos
Desdobramento dos picos	<u>Multiplicidade</u> dos sinais (desdobramento ou estrutura fina) – Constante de acoplamento (J , Hz)	Núcleos vizinhos
Intensidade dos picos	<u>Integrais</u> (áreas dos sinais)	Núcleos que originam cada sinal
Forma dos picos	Largura da linha	Processos dinâmicos?

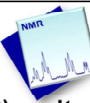
Sistemas de acoplamento *spin-spin*

Nomenclatura de Pople



2

Sistemas de acoplamento de spins – Nomenclatura de Pople

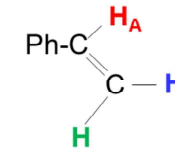


- Para sistemas de spins com **desvios químicos** (δ) muito diferentes ($\Delta\delta \gg J$; acoplamento fraco), são usadas **letras afastadas do alfabeto**.

→ Acoplamentos de 1^a ordem. Ex.:

Sistemas AX H-F Ph-CH=CHCOOH CHCl₃

Sistemas AMX



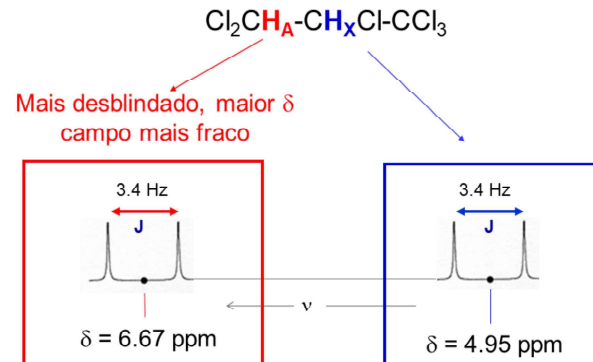
3

Podem consultar o site para mais exemplos:

<http://www.chem.wisc.edu/areas/reich/nmr/05-hmr-07-pople.htm>

Acoplamento spin-spin - J

Ex: Sistema **AX** (2 núcleos de spin 1/2)

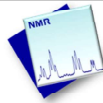
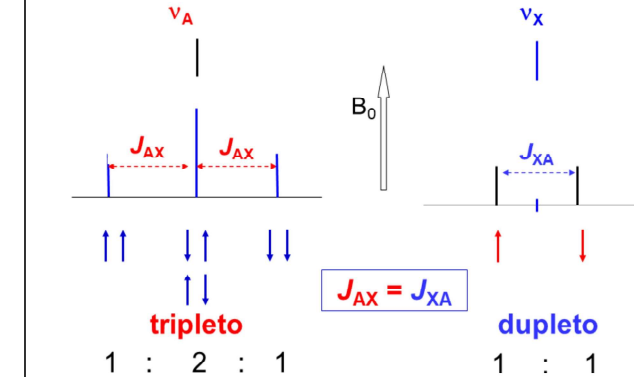


4

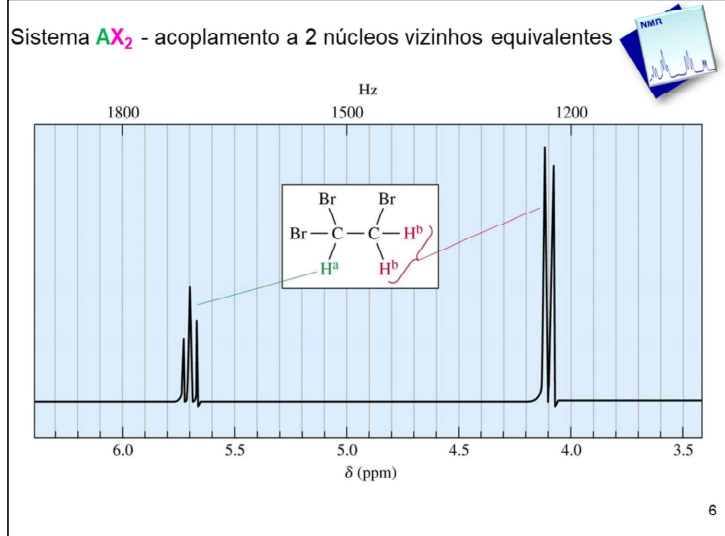
Acoplamento spin-spin - J

Ex: Sistema **AX₂** (núcleos de spin 1/2)

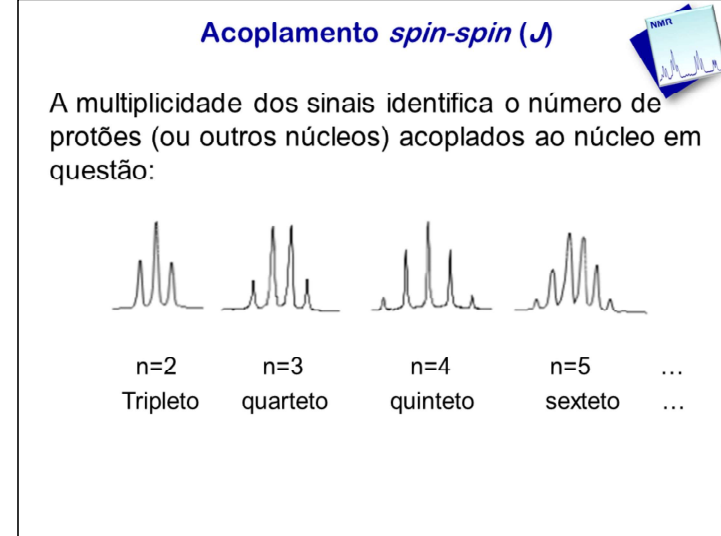
Ex.: $-\text{CH}-\text{CH}_2-$



5



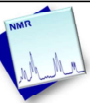
Relembrar a regra ($n+1$) para os acoplamentos. Neste caso, o protão H_a "sente" a presença dos 2 protões H_b , logo a sua multiplicidade será um triploto ($n+1 \rightarrow 2+1 = 3 \rightarrow$ triploto). Por outro lado, os protões H_b "sentem" a presença do protão H_a , logo a sua multiplicidade será um dupletto ($n+1 \rightarrow 1+1 = 2 \rightarrow$ dupletto).



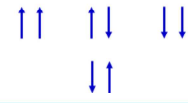
Não esquecer a regra ($n+1$).

Multipletos do sistema AX_n

Acoplamento a n núcleos equivalentes de spin 1/2

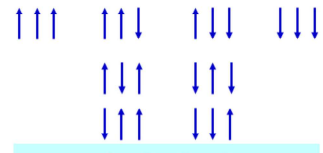


AX_2



1 : 2 : 1

AX_3

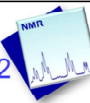


1 : 3 : 3 : 1

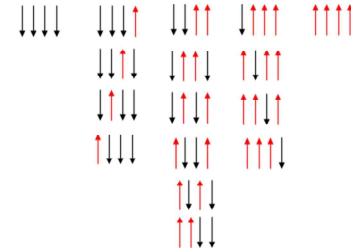
8

Multipletos do sistema AX_4

Acoplamento a 4 núcleos equivalentes de spin 1/2



→ 5 combinações possíveis de estados de spin nuclear com diferentes energias



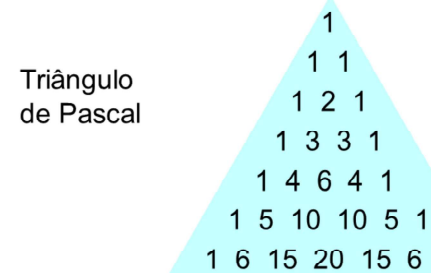
1 : 4 : 6 : 4 : 1

9

As intensidades dos picos dos multipletos serão dadas pelas orientações possíveis dos estados de spin.

Acoplamento a n núcleos equivalentes de spin $I = 1/2$

Intensidades relativas dos $n+1$ picos dos multipletos dos sistemas AX_n



A
 AX_1
 AX_2
 AX_3
 AX_4
 AX_5
 AX_6

10

As intensidades relativas dos $(n+1)$ picos dos multipletos em sistemas AX_n para núcleos com spin nuclear de $1/2$ seguem o Triângulo de Pascal.

Multipletos do sistema AX_n

Acoplamento a n núcleos equivalentes de spin I

Multiplicidade = $2nI + 1$

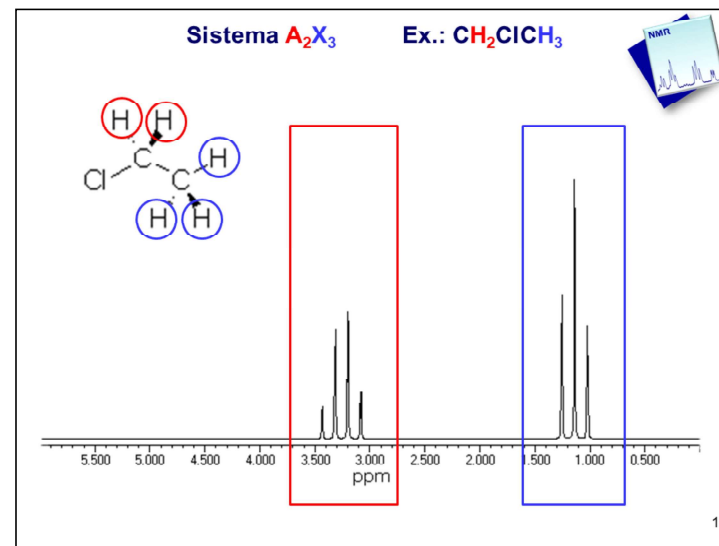
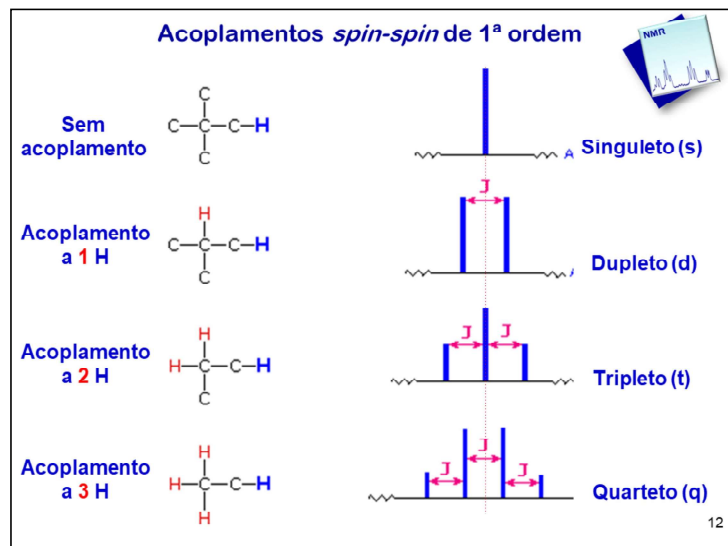
n	$I = 1/2$	$I = 1$	$I = 3/2$
0	1	1	1
1	1 1	1 1 1	
2	1 2 1	1 2 3 2 1	1 2 3 4 3 2 1
3	1 3 3 1	1 3 6 7 6 3 1	1 3 6 10 12 12 10 6 3 1
4	1 4 6 4 1	1 4 10 16 19 16 10 4 1	1 4 10 20 31 40 44 40 31 20 10 4 1

$I=1/2 \rightarrow 2I=1 \rightarrow$ Multiplicidade = $n+1$

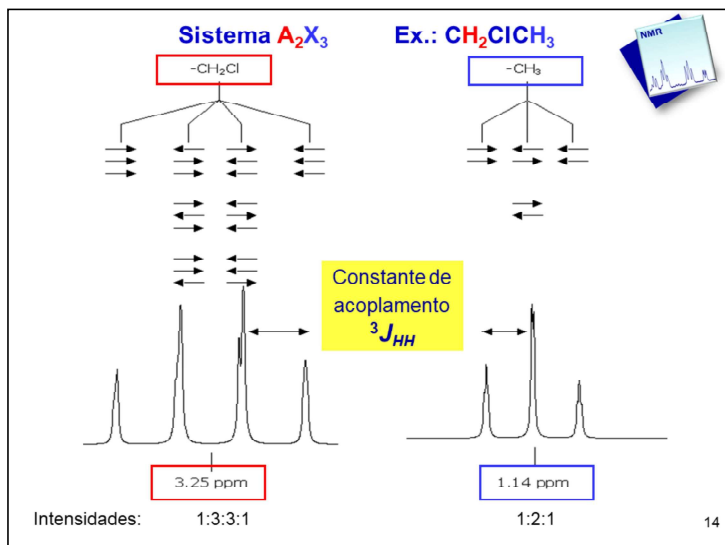


11

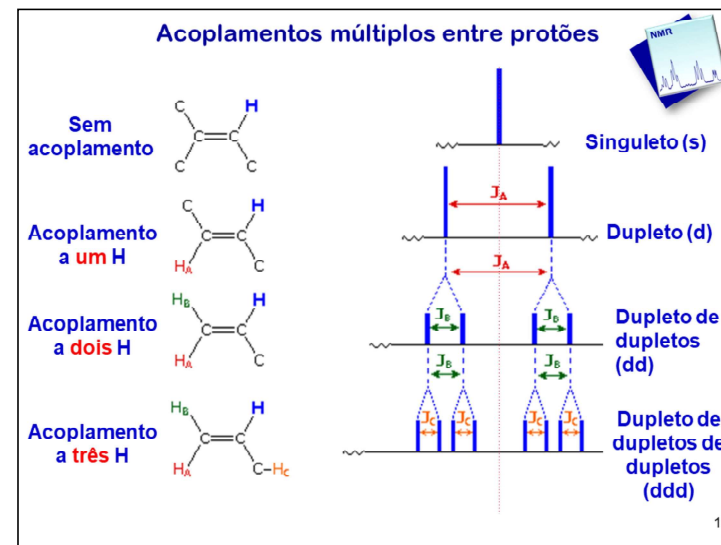
Os núcleos do sistema AX_n com spins nucleares diferentes, a multiplicidade é dada por $2nI+1$.



Relembrar a regra da multiplicidade ($n+1$).

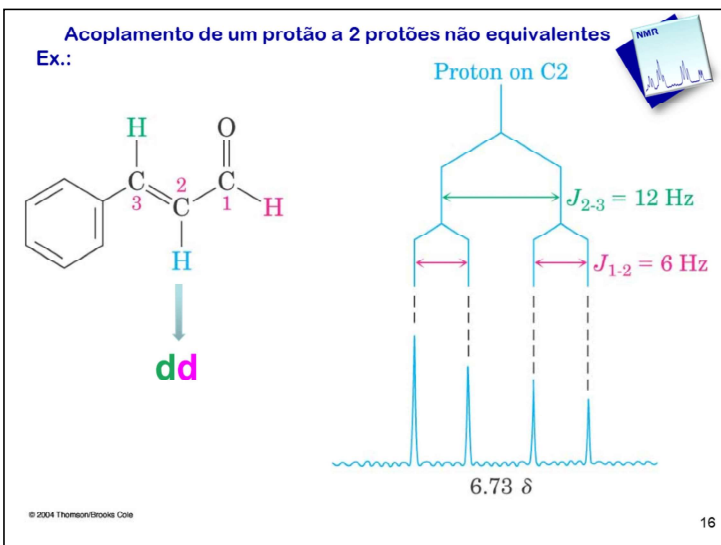


15

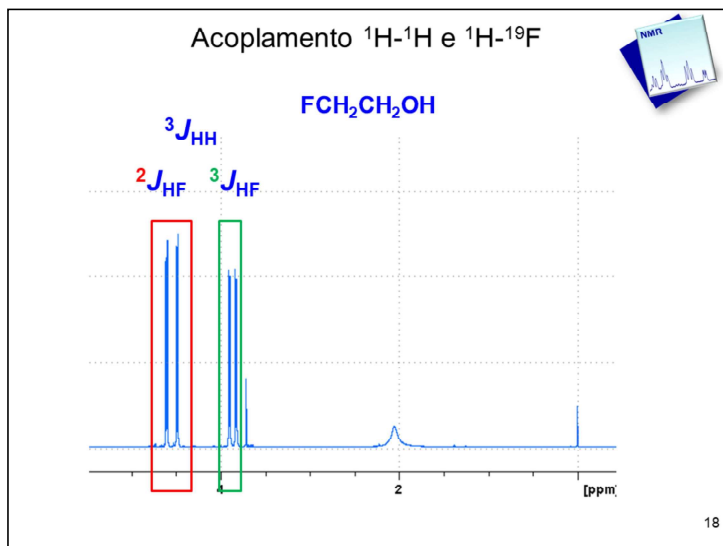


Não esquecer que este tipo de acoplamento só acontece quando os núcleos não são equivalentes. Portanto, no 1º caso, como o protão não está a acoplar com nenhum núcleo, o seu sinal será um singuleto. No 2º exemplo, há o acoplamento a um H e teremos um duploto ($n+1 \rightarrow 1+1=2$) com uma constante de acoplamento J_A . No 3º exemplo, o protão a azul está a acoplar com 2 outros núcleos (H_A e H_B), pelo que a sua multiplicidade será um duploto de dupletos com 2 constantes de acoplamento: J_A , que resulta do acoplamento com H_A e J_B , que resulta do acoplamento com H_B . Finalmente, no último exemplo, podemos verificar o acoplamento do protão a azul com 3 outros núcleos (H_A , H_B e H_C), resultando num duploto de dupletos de dupletos com 3 constantes de acoplamento: J_A , que resulta do acoplamento com H_A ; J_B , que resulta do acoplamento com H_B ; e J_C , que resulta do acoplamento com H_C .

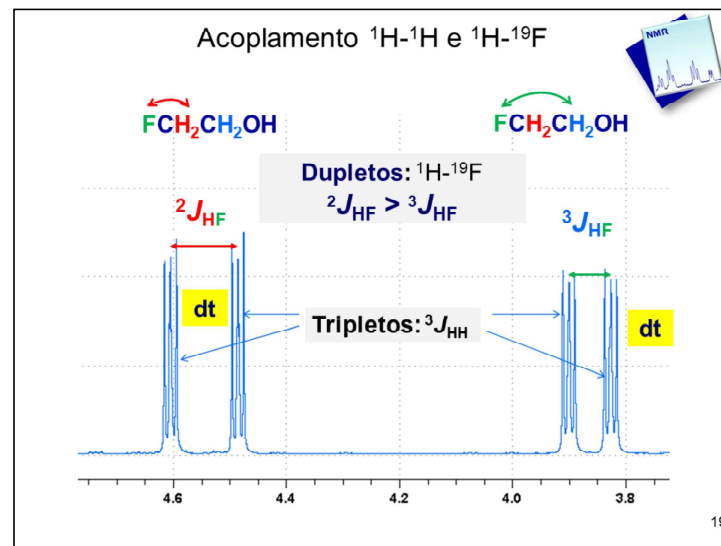
16



- Acoplamentos *spin-spin* de 1^a ordem**
- A constante de acoplamento **J** é mútua: $J_{AX} = J_{XA}$
-
- ⇒ Nunca existe apenas um núcleo a apresentar desdobramento **J** do sinal – terá de haver dois e com a mesma constante de acoplamento **J**.
 - ⇒ O acoplamento pode ser entre pares de spins homonucleares ou heteronucleares; os dois núcleos não têm de ser sempre protões mas ambos têm de ser ativos em NMR. (Não há acoplamento com ¹²C)
 - ⇒ **¹⁹F** e **³¹P** são outros núcleos comuns de **spin 1/2** e **100 % abundância** que podem acoplar com protões vizinhos (e entre si).
 - ⇒ Também se observam acoplamentos com **²H**, ($I=1$), presente nos solventes deuterados.
- 17



^{19}F é um núcleo comum de spin $1/2$ e 100 % abundância que pode acoplar com protões vizinhos (e entre si), como se mostra neste exemplo.

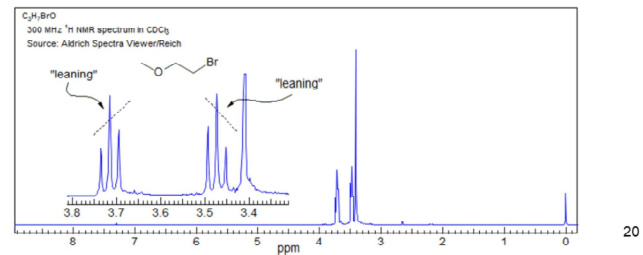


Fazendo zoom na imagem, o que podemos verificar é que o sinal a maior desvio químico corresponde ao CH_2 mais próximo do F (relembra também o efeito da eletronegatividade) e o seu sinal é um duplo de tripletos: duplo devido ao acoplamento ^1H - ^{19}F , triplo devido ao acoplamento com o outro CH_2 . O mesmo se passa para o CH_2 a azul, no entanto, como está mais longe do F, o seu sinal vem mais blindado e a sua constante de acoplamento ^1H - ^{19}F é menor, pois $2J_{\text{HF}} > 3J_{\text{HF}}$.

Sistemas de acoplamento de spins – Nomenclatura de Pople

- Núcleos com **desvios químicos muito próximos ($\Delta\delta < 5J$)**, são designados por letras próximas do alfabeto: A, B, C, etc.
- & Efeitos de 2^a ordem (sinais mais complexos)

Sistemas AB



Quando temos sistemas com núcleos com desvios químicos muito próximos e constantes de acoplamento muito fortes ($\Delta\delta < 5J$), aparecem efeitos de 2^a ordem no espetro de RMN e os sistemas são designados com letras próximas do alfabeto.

Um efeito universal observado é que os desvios químicos são comparáveis aos acoplamentos e intensidade das linhas deixa de corresponder às razões dos integrais. As linhas mais longe do desvio químico do outro protão (linhas externas) passam a ser mais pequenas e as linhas mais próximas (linhas internas) tornam-se maiores (ver os tripletos da figura) – os multipletos “inclinam-se” e observa-se o efeito de “telhado”. Esta “inclinação” torna-se mais preponderante à medida que a diferença do desvio químico entre o par de multipletos se torna menor.

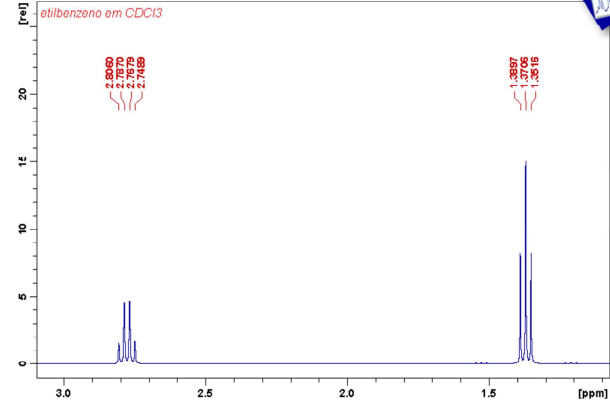
Acoplamento spin-spin em espectros de NMR de ^1H

- ⇒ Nos espectros de NMR de ^1H não se observam, geralmente, acoplamentos com núcleos de ^{13}C devido à baixa abundância do ^{13}C (~1,1%).
- ⇒ Observam-se frequentemente **satélites de ^{13}C** , separados de $^1\text{J}_{\text{CH}}$ (~ 120-150 Hz) com uma intensidade de ~ 0,5% do pico central.

(O pico central resulta dos protões ligados a ^{12}C (abundância = 98.9 %))

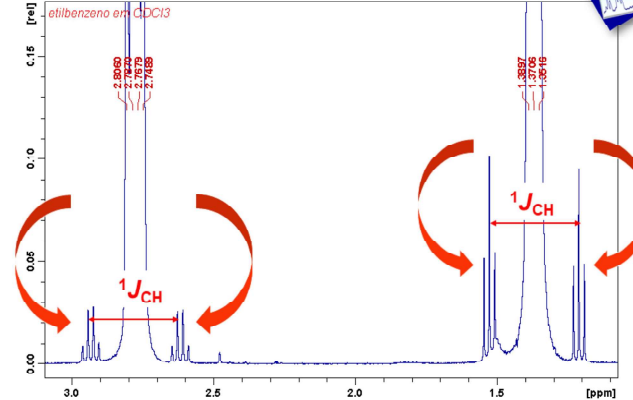
21

Satélites de ^{13}C num espectro de NMR de ^1H NMR



22

Satélites de ^{13}C num espectro de NMR de ^1H NMR

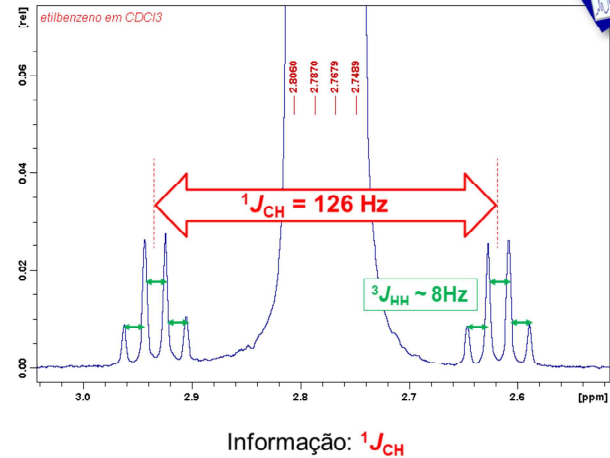
Informação: ${}^1J_{\text{CH}}$

23

23

24

Satélites de ^{13}C num espectro de NMR de ^1H NMR



24

Constantes de acoplamento ($J_{\text{H-H}}$)

Structural Type	J (Hz)
$\begin{array}{c} \text{H}-\text{C}-(\text{C})_n-\text{C}-\text{H} \\ \qquad \qquad \\ \text{X} \qquad \qquad \text{Y} \end{array}$	0 (unless in a rigid ideal orientation)
$\text{H}_3\text{C}-\text{CH}_2-\text{X}$	6 to 8
$\begin{array}{c} \text{H}_3\text{C} \\ \\ \text{CH}-\text{X} \\ \\ \text{H}_3\text{C} \end{array}$	5 to 7
$\begin{array}{c} \text{H}-\text{C}-\text{C}-\text{H} \\ \qquad \qquad \\ \text{X} \qquad \qquad \text{Y} \end{array}$	2 to 12 (depends on dihedral angle and the nature of X and Y)
$\begin{array}{c} \text{O} \\ \\ \text{C}-\text{C}-\text{H} \\ \\ \text{H} \end{array}$	0.5 to 3
$\begin{array}{c} \text{H} \\ \\ \text{C}=\text{C}-\text{H} \\ \\ \text{H} \end{array}$	12 to 15 (must be diastereotopic)

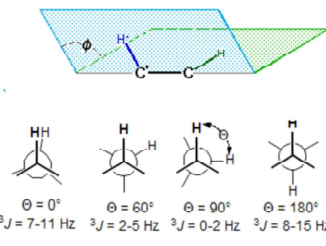
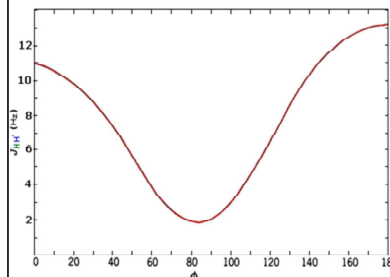
Structural Type	J (Hz)
$\begin{array}{c} \text{H} \\ \\ \text{C}=\text{C}-\text{H} \\ \\ \text{H} \end{array}$	12 to 18
$\begin{array}{c} \text{H} \\ \\ \text{C}=\text{C}-\text{H} \\ \\ \text{H} \end{array}$	7 to 12
$\begin{array}{c} \text{H} \\ \\ \text{C}=\text{C}-\text{H} \\ \\ \text{H} \end{array}$	0.5 to 3
$\begin{array}{c} \text{H} \\ \\ \text{C}=\text{C}-\text{H} \\ \\ \text{H} \end{array}$	3 to 11 (depends on dihedral angle)
$\begin{array}{c} \text{H} \\ \\ \text{C}-\text{C}\equiv\text{C}-\text{H} \\ \\ \text{H} \end{array}$	2 to 3
$\begin{array}{c} \text{H} \\ \\ \text{C}_6\text{H}_5 \end{array}$	<ul style="list-style-type: none"> o 6 to 9 m 1 to 3 p 0 to 1

25

J depende do ângulo H-C-H - equação de Karplus

Em compostos contendo grupos com rotação restrita, $^3J_{HH}$ depende do ângulo do diedro entre os H acoplados.

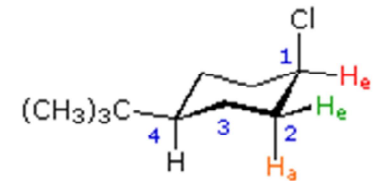
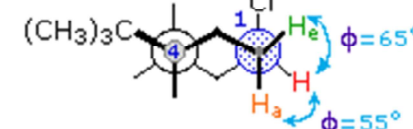
$$J = A - B \cos \phi + C \cos 2\phi$$



A, B e C – parâmetros empíricos dependentes dos átomos e substituintes

26

J vs ângulo H-C-H em H vicinais – ex.:



$$J_{ee} = 3.5 \text{ Hz} \quad J_{ea} = 4.0 \text{ Hz}$$

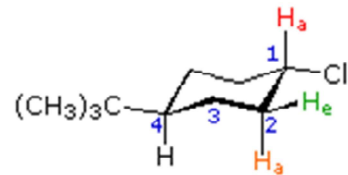
cis-4-tert-butyl-1-chlorocyclohexane

27

Equação de Karplus

Esta teoria diz que as constantes de acoplamento serão máximas para protões vicinais com ângulos diedros de 180° e 0° e que serão mínimas para protões que estão a 90° . A equação dá-nos os valores aproximados para $^3J_{HH}$ como uma função do ângulo diedro entre os protões. No entanto, é importante não esquecer que esta relação apenas se aplica a sistemas saturados e que grupos eletronegativos e tensões de anel podem causar diferenças substanciais relativamente aos valores previstos.

J vs ângulo H-C-H em H vicinais - exemplos

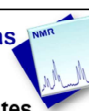


$$J_{aa} = 12.0 \text{ Hz}$$

trans-4-tert-butyl-1-chlorocyclohexane

28

Acoplamentos *spin-spin* de 1^a ordem - regras

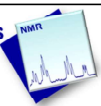


Observa-se acoplamento entre núcleos não equivalentes (diferentes desvios químicos).

- Os protões de CH_3COCH_3 , CH_2Cl_2 , $\text{Si}(\text{CH}_3)_4$, $\text{Cl}-\text{CH}_2-\text{CH}_2-\text{Cl}$, $\text{H}_2\text{C}=\text{CH}_2$, benzeno,... são singuletos.
- Não se observam acoplamentos entre protões quimicamente equivalentes.
- Há importantes exceções a esta regra: acoplamentos entre protões com o mesmo desvio químico mas magneticamente não equivalentes podem ter efeitos significativos em espectros de RMN.

29

Acoplamentos *spin-spin* de 1^a ordem - regras



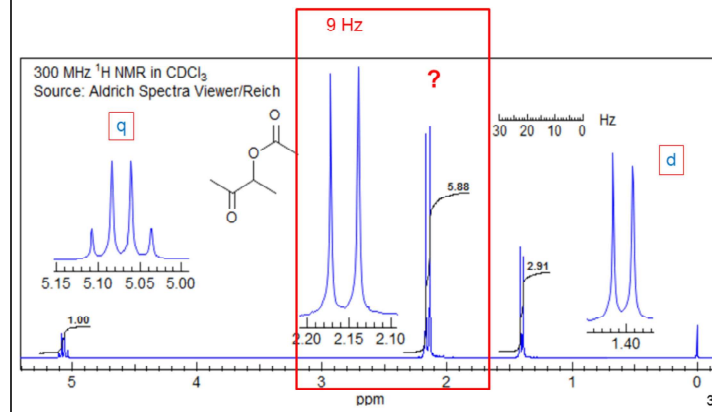
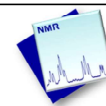
Nem sempre é possível **distinguir J de δ** pela aparência do espectro: duas linhas próximas podem corresponder a um dupletos ou a diferentes desvios químicos.

Em multipletos com mais de duas linhas, a simetria, o espaçamento entre as linhas, as áreas e as intensidades relativas dos sinais tornam geralmente mais fácil distinguir entre desvios químicos e acoplamentos.

30

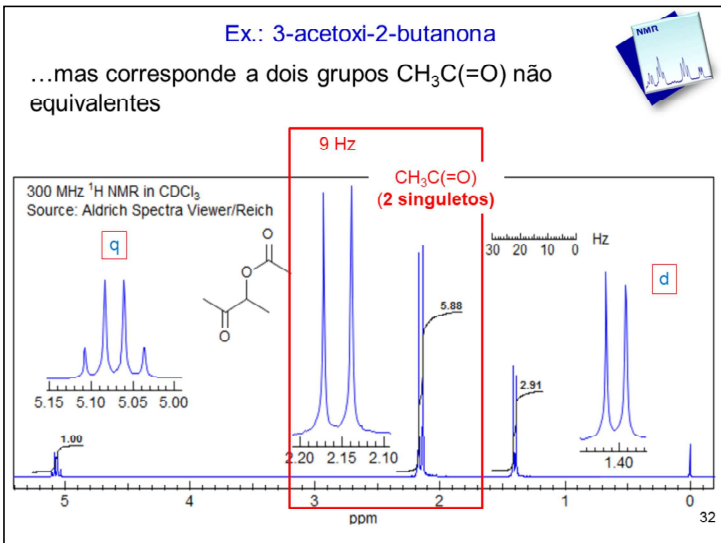
Ex.: 3-acetoxi-2-butanona

O “dupletos” (com uma separação de 9 Hz), pode facilmente corresponder a um acoplamento...

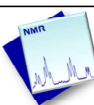


31

32



Reconhecer acoplamentos *spin-spin* de 1^a ordem



- São simétricos (embora possa haver alguma distorção, em espectros reais). (Nota: nem todos os multipletos simétricos são de 1^a ordem).
- Se atribuirmos intensidade 1 aos picos mais exteriores, a intensidade de todos os outros deverá ser um múltiplo inteiro dessa intensidade e a intensidade total de todos os picos do multipleto será uma potência de 2 (2, 4, 8, 16, etc).
- A intensidade de cada um dos picos mais exteriores será $1/2^n$ da intensidade total do multipleto, em que n é o n° de protões acoplados ao protão em estudo.
- Apresentam um espaçamento regular.

34